

บทที่ 4

ผลการดำเนินงานวิจัย

4.1 การเตรียมอนุภาคพอลิสไตรีน (PS) และพอลิ(สไตรีน-กรดเมทاكโรลิก) (P(S-MAA))

4.1.1 การสังเคราะห์อนุภาคพอลิสไตรีน และพอลิ(สไตรีน-กรดเมทاكโรลิก)

ในขั้นตอนนี้ เป็นการศึกษาหาสภาวะที่เหมาะสมในการเตรียมอนุภาคพอลิสไตรีนและพอลิ(สไตรีน-กรดเมทاكโรลิก)ให้มีประจุลบกระจายอยู่บนผิวนูภาค โดยกระบวนการสังเคราะห์แบบอิมัลชันที่ไม่ใช้สารลดแรงตึงผิว สภาวะในการสังเคราะห์และผลการทดลองแสดงดังตารางที่ 4.1

ตารางที่ 4.1 ผลการสังเคราะห์พอลิสไตรีนและพอลิ(สไตรีน-กรดเมทاكโรลิก)

ผลการทดลอง	ครั้งที่					
	1	2	3	4	5	6
น้ำ (g)	300	300	300	300	300	300
KPS (g)	0.13	0.12	0.20	0.86	0.13	0.22
S (g)	33.00	7.70	9.30	9.30	30.60	30.60
MAA (g)	-	-	-	-	2.80	2.80
Conversion (%) ^a	-	-	-	86.39	7.93	94.61

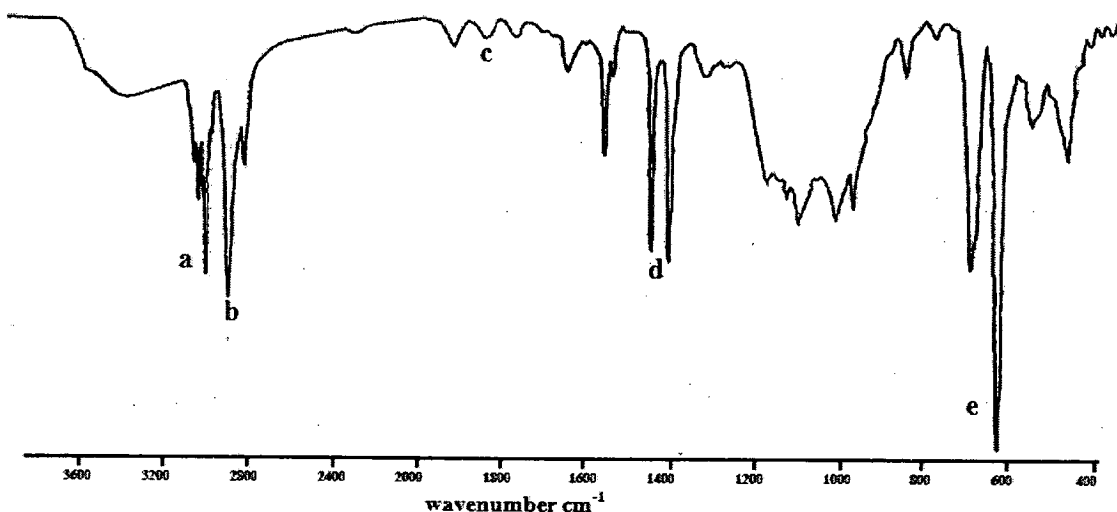
200 rpm , 70 °C , 24 hr, Purged by N₂

จากผลการทดลองพบว่า ในกรณีการสังเคราะห์ PS การทดลองครั้งที่ 1, 2 และ 3 ไม่เกิดพอลิเมอร์เซชัน เนื่องจากปริมาณตัวเริ่มปฏิกิริยาไม่เพียงพอ เมื่อทำการเพิ่มปริมาณตัวเริ่มปฏิกิริยาในการทดลองที่ 4 จึงเกิดพอลิเมอร์เซชัน และได้ % Conversion 86.39% ส่วนการสังเคราะห์ P(S-MAA) ได้ผลดีในครั้งที่ 6 เมื่อพิจารณาจาก % Conversion 94.61 ดังนั้น จึงเลือกสภาวะดังการทดลองครั้งที่ 4 และ 6 ไปใช้ในการสังเคราะห์ PS และ P(S-MAA) ตามลำดับ

4.1.2 การตรวจสอบโครงสร้างทางเคมีของอนุภาค PS และ P(S-MAA) ที่สังเคราะห์โดยใช้ เทคนิคอินฟราเรดスペกโกรสโคป (Infrared spectroscopy)

4.1.2.1 การตรวจสอบโครงสร้างทางเคมีของ PS

พบว่าอนุภาค PS ที่สังเคราะห์ได้มีหมู่ฟังก์ชันและส่วนของโครงสร้างที่ Active ได้ใน อินฟราเรดปรากฏในความถี่ ดังแสดงในรูปที่ 4.1 และตารางที่ 4.2

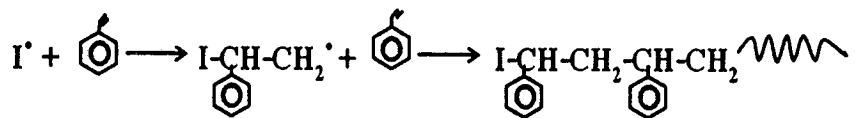


รูปที่ 4.1 Infrared spectrum แสดงหมู่ฟังก์ชันและส่วนของโครงสร้างที่ Active ของ PS ในอินฟราเรด ที่ สังเคราะห์ด้วยกระบวนการ Emulsifier-free emulsion polymerization (200 rpm, 70 °C, 24 hr., 10.2 %wt Styrene, 0.29 %wt KPS)

ตารางที่ 4.2 หมู่ฟังก์ชันและส่วนของโครงสร้างที่ Active ของ PS ในอินฟราเรดスペกตรัมของ PS

Function Group	Wave Number (cm ⁻¹)
a) $\nu_{-\text{CH}(\text{aromatic})}$	3081-3001
b) $\nu_{-\text{CH}(\text{aromatic})}$	2922-2849
c) Overtone	1944-1601
d) $\nu_{-\text{C-C}}$	1493-1452
e) $\delta_{\text{OP-CH-benzene}}$	757-698

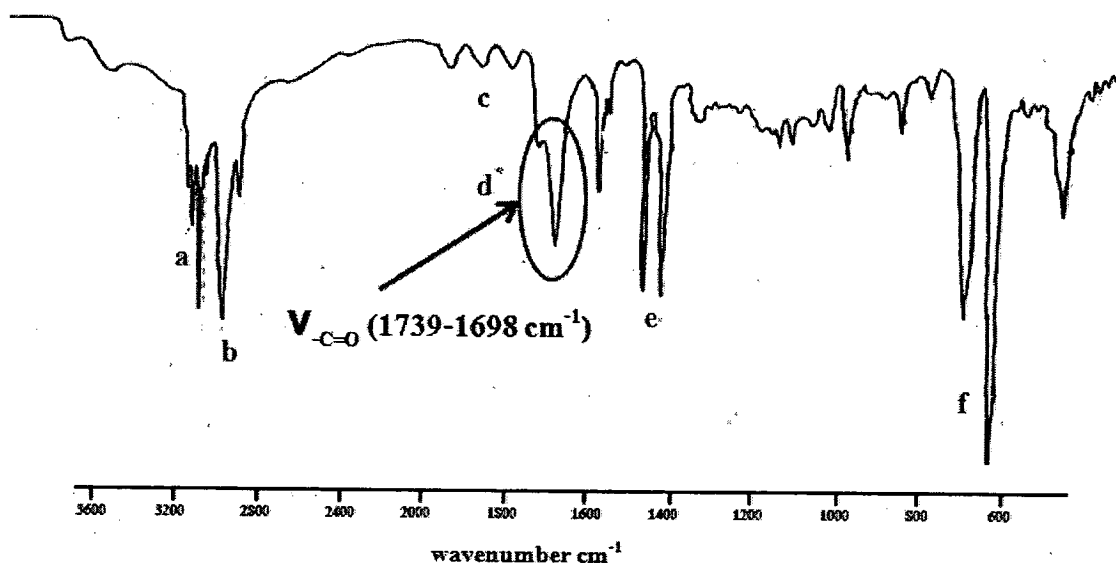
ชั้นการเกิดพอลิเมอ ໄรเซชันของสไตรีนแบบอนุนุ่มอิสระ มิกกลไกดังรูปที่ 4.2



รูปที่ 4.2 กลไกการเกิดพอลิเมอไรเซชันของพอลิสไตรีน

4.1.2.2 การตรวจสอบโครงสร้างโมเดลของ P(S-MAA)

พบว่าอนุภาค P(S-MAA) ที่สังเคราะห์ได้มีหนูฟังก์ชันและส่วนของโครงสร้างที่ Active ได้ในอินฟราเรดปราศจากในความถี่ ดังแสดงในรูปที่ 4.3 และตารางที่ 4.3

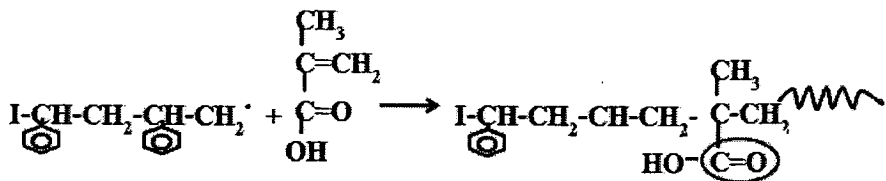


รูปที่ 4.3 Infrared spectrum แสดงหมู่ฟังก์ชันและส่วนของโครงสร้างที่ Active ของ P(S-MAA) ในอินฟราเรด ที่สังเคราะห์ด้วยกระบวนการ Emulsifier - free emulsion polymerization (200 rpm, 70°C, 24 hr, 30.60 %wt styrene, 0.93 %wt MAA, 0.93 %wt KPS)

ตารางที่ 4.3 แสดงหมู่ฟังก์ชันและส่วนของโครงสร้างที่ Active ของ P(S-MAA) ในอินฟราเรดスペกตรัมของ P(S-MAA)

Function Group	Wave Number (cm^{-1})
a) $\nu_{\text{-CH(aromatic)}}$	3082-3001
b) $\nu_{\text{-CH(aromatic)}}$	2923-2849
c) Overtone	1943-1803
d) $\nu_{\text{-C=O}}$	1739-1698
e) $\nu_{\text{-C-C}}$	1493-1452
f) $\delta_{\text{OP-CH-benzene}}$	757-698

หมู่ฟังก์ชันที่ปรากฏดังตารางที่ 4.3 เมื่อนำไปเปรียบเทียบกับหมู่ฟังก์ชันที่ปรากฏดังตารางที่ 4.2 พบว่ามีกลุ่มฟังก์ชันปรากฏเพิ่มเติมขึ้นมาที่เลขคู่ 1739-1698 cm^{-1} ซึ่งเป็นย่านเลขคู่ที่จะพบหมู่คาร์บอนิลของ MAA ซึ่งเป็นการยืนยันได้ว่าพอลิเมอร์ที่ได้คือ P(S-MAA) ที่สังเคราะห์ได้จริง จัดเป็นโโคพอลิเมอร์ระหว่างสไตเรนกับกรดเมทาคริลิก ซึ่งต่างจาก PS ที่จัดเป็นโไฮโดรฟอลิเมอร์ของสไตเรน โดยกลไกการเกิดพอลิเมอไรเซชันของสไตเรนกับกรดเมทาคริลิกแบบอนุมูลอิสระแสดงดังรูปที่ 4.4

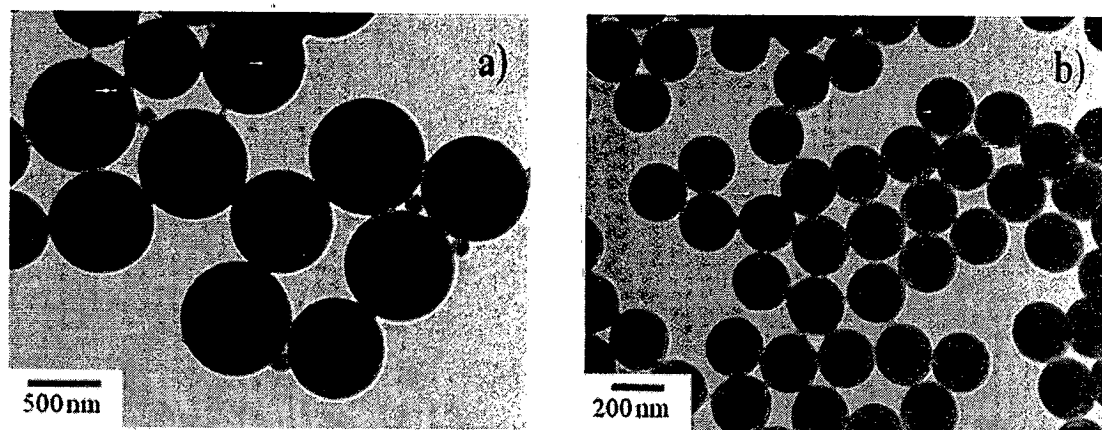


รูปที่ 4.4 กลไกการเกิดพอลิเมอไรเซชันของพอลิ(สไตเรน-กรดเมทาคริลิก)

4.1.3 รูป่างและขนาดของอนุภาคพอลิสไตรีน และพอลิ(สไตรีน- กรดเมทاكربิลิก) ที่สังเคราะห์ได้

เมื่อทำการตรวจสอบรูป่างของอนุภาค PS และ P(S-MAA) ที่เตรียมได้โดยใช้กล้องจุลทรรศน์อิเล็กตรอนแบบส่องผ่าน หรือ TEM พบว่า อนุภาคของพอลิเมอร์ทั้งสองชนิดมีลักษณะเป็นทรงกลม และมีขนาดอนุภาคอยู่ในระดับนาโนเมตร ดังแสดงในรูปที่ 4.5 อนุภาค PS มีขนาดประมาณ 500 nm ส่วน P(S-MAA) มีขนาดประมาณ 200 nm ซึ่งสอดคล้องกับผลการวัดขนาดอนุภาคด้วยเทคนิค DLS ดังรูปที่ 4.6 เมื่อทำการวัดขนาดอนุภาคของพอลิเมอร์ทั้งสองชนิด พบว่า อนุภาคของ PS และ P(S-MAA) มีขนาดอนุภาคประมาณ 325 nm และ 140 nm ตามลำดับ

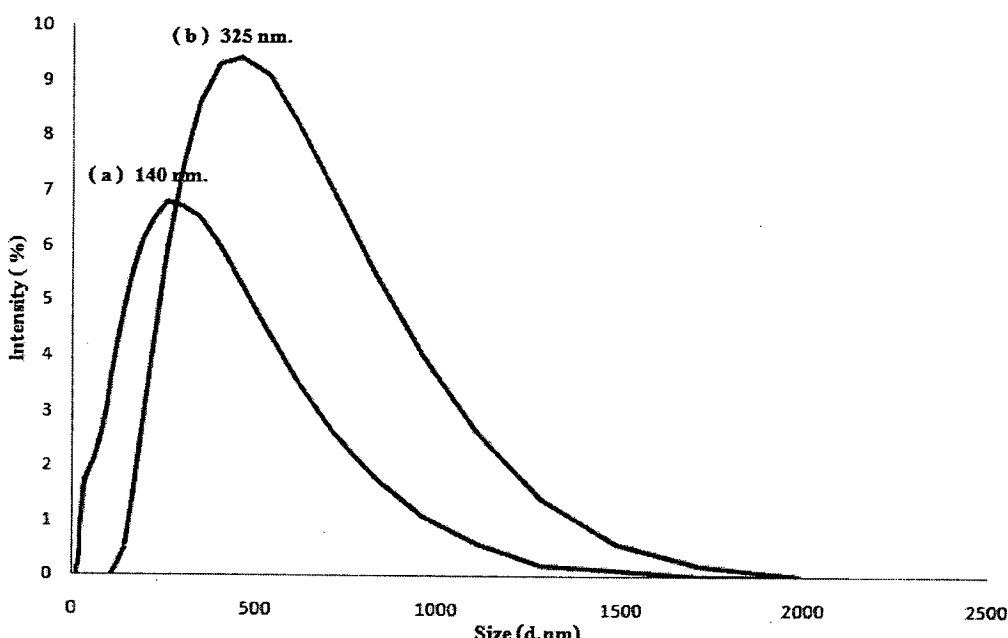
การที่อนุภาค P(S-MAA) มีขนาดเล็กกว่า PS ทั้งที่อนุภาคทั้งสองชนิดถูกสเกบไว้ด้วยแรงผลักระหว่างประจุ (Electrostatic repulsion) ของหมู่ชัลเฟต์ที่เกิดจากโพแทสเซียมเปอร์ชัลเฟต์ที่เป็นตัวเริ่มปฏิกิริยาเหมือนกัน เนื่องจากอนุภาค P(S-MAA) มีหมู่คาร์บอชิลิกจากเมทاكربิลิกอนอเมอร์ด้วยซึ่งสามารถช่วยสเกบไว้ด้วยชัลเฟต์ได้เช่นกัน จึงทำให้อนุภาค P(S-MAA) มีขนาดเล็กกว่า PS นอกจากนี้ อนุภาคที่เตรียมได้ทั้งสองชนิดยังมีการกระจายตัวของขนาดที่ค่อนข้างแคบ ซึ่งเป็นลักษณะเฉพาะของพอลิเมอร์ที่เตรียมโดยกระบวนการสังเคราะห์แบบอิมัลชันที่ไม่ใช้สารลดแรงตึงผิว



รูปที่ 4.5 TEM micrograph ของอนุภาคพอลิเมอร์ที่เตรียมโดยกระบวนการ Emulsifier-free emulsion polymerization: a) PS และ b) P(S-MAA)

นอกจากนี้ เมื่อทำการวัดค่าความเป็นประจุที่ผิวของอนุภาค โดยอาศัยหลักการอิเล็กโทรโฟเรซิส (Electrophoresis) พบว่าอนุภาค PS และ P(S-MAA) มีค่าความเป็นประจุ -35.6 และ -4.3 mV ตามลำดับ แสดงว่าอนุภาคพอลิเมอร์ที่เตรียมได้มีประจุลบที่ผิว ซึ่งมาจากการหมู่ชัลเฟต์ของโพแทสเซียมเปอร์ชัลเฟต์ โดยจำนวนประจุลบจะมีมากหรือน้อย ขึ้นอยู่กับจำนวนประจุลบที่อยู่บนผิวอนุภาคของพอลิเมอร์แต่ละ

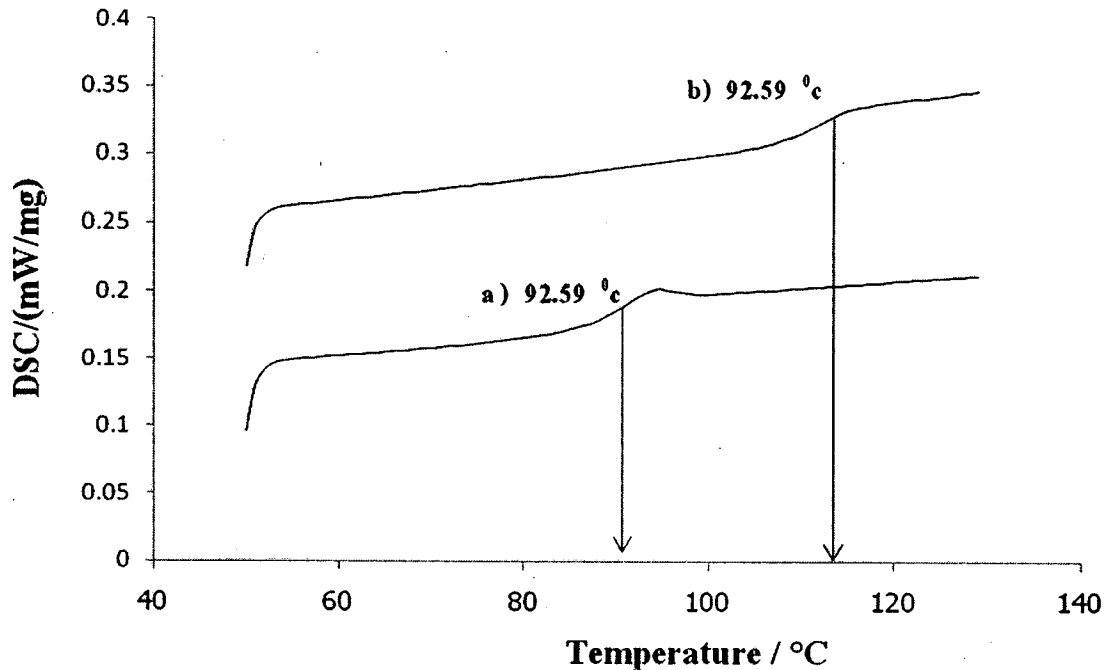
ชนิด ซึ่งค่า Zeta Potential ของ P(S-MAA) จะมีค่าน้อยกว่า PS เนื่องจากปริมาณของโพแทสเซียม เปอร์ชัลเฟตที่เติมลงไปในกระบวนการสังเคราะห์ไม่เท่ากัน โดยกรณี PS จะใช้ปริมาณของโพแทสเซียม เปอร์ชัลเฟตมากกว่า P(S-MAA) จึงทำให้จำนวนประจุลบที่เกิดขึ้นบนผิวนูภาค ซึ่งมาจากหมู่ชัลเฟตของโพแทสเซียมเปอร์ชัลเฟตมีมากกว่า P(S-MAA) ถึงแม้ว่า ในกรณีของ P(S-MAA) กรรมเมทาคริลิก จะมีองค์ประกอบของหมู่ COOH อよู่ แต่ P(S-MAA) ที่สังเคราะห์ขึ้นได้มีค่าพีเอชเท่ากับ 1 ทำให้หมู่ COOH ไม่แตกตัวให้หมู่ COO⁻ ประกอบกับจำนวนประจุที่มาจากการหมู่ชัลเฟตของโพแทสเซียมเปอร์ชัลเฟตที่เกิดขึ้นบนผิวนูภาคน้อย ดังนั้น ค่า Zeta Potential ของ P(S-MAA) จึงมีค่าต่ำกว่าของ PS มาก แต่ถึงอย่างไรก็ตาม อนูภาค P(S-MAA) ก็ยังคงมีประจุลบกระจายอยู่ที่ผิวนูภาคเพียงพอต่อการนำไปใช้ในกระบวนการผสม ดังนั้น จึงสามารถใช่อนูภาคพอลิเมอร์ที่เตรียมได้จับกับอนูภาคยางธรรมชาติในสถานะที่มีประจุตรงข้ามกันได้โดยอาศัยแรงดึงดูดทางไฟฟ้าสถิต (Electrostatic interaction)



รูปที่ 4.6 DLS histogram ของอนูภาคพอลิเมอร์ที่เตรียมโดยกระบวนการ Emulsifier-free emulsion polymerization: a) P(S-MAA) และ b) PS

4.1.4 การตรวจสอบสมบัติทางความร้อนของพอลิสไตรีน และพอลิ(สไตรีน- กรรมเมทาคริลิก) ที่สังเคราะห์ได้โดยเทคนิค DSC

เมื่อทำการทดสอบสมบัติทางความร้อนของ PS และ P(S-MAA) ด้วยเทคนิค DSC โดยพิจารณาจากค่าอุณหภูมิการเปลี่ยนสถานะคล้ายแก้ว หรือ T_g พบร่วม PS และ P(S-MAA) มีค่า T_g อよู่ที่ 92.6°C และ 112.3°C ตามลำดับ ดังรูปที่ 4.7 ซึ่งได้กล่าวถึงกับข้อมูลใน Polymer handbook



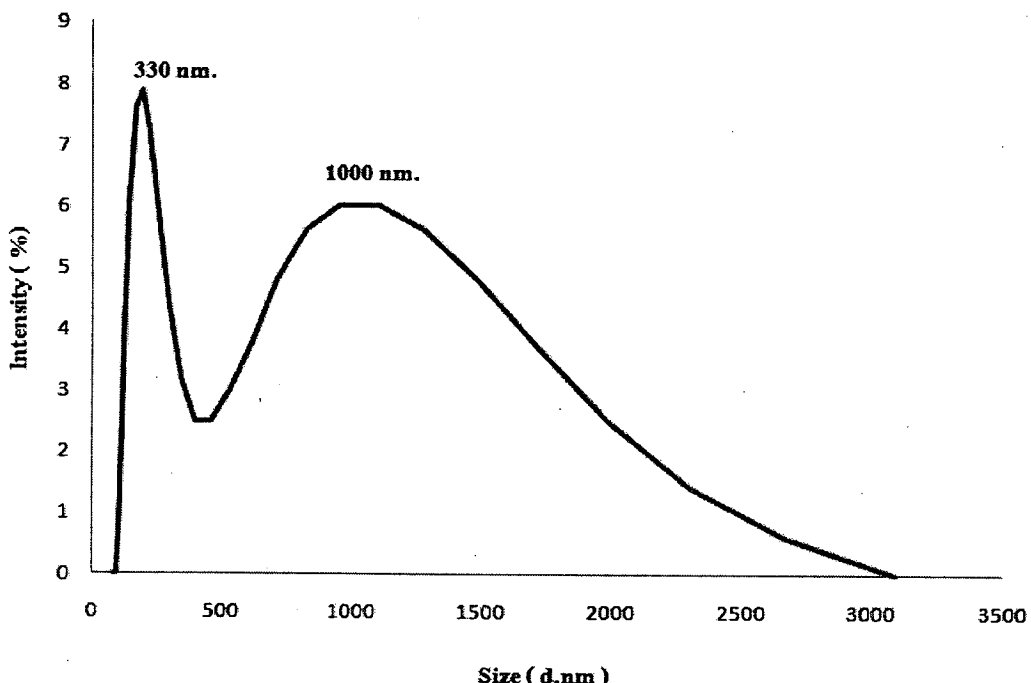
รูปที่ 4.7 DSC Thermogram ของพอลิเมอร์ที่เตรียมโดยกระบวนการสังเคราะห์แบบ emulsifier-free emulsion polymerization: a) PS และ b) P(S-MAA)

4.2 การตรวจสอบลักษณะเฉพาะของอนุภาคของยางธรรมชาติ

4.2.1 ขนาดและการกระจายตัวของอนุภาค

ก่อนนำยางธรรมชาติมาผสมกับอนุภาค PS และ P(S-MAA) ได้ทำการวัดขนาดอนุภาคของยางธรรมชาติด้วยเทคนิค DLS พบว่า เส้นกราฟมีการกระจายตัวของขนาดอนุภาคยางธรรมชาติเป็น 2 ช่วง เนื่องมาจากอนุภาคของยางธรรมชาติมีการกระจายตัวเป็นแบบ Bimodal ช่วงแรก มีขนาดอนุภาคเฉลี่ยโดยจำนวน (Number average diameter; D_n) ประมาณ 330 nm และช่วงที่สอง มีขนาดอนุภาคเฉลี่ยโดยจำนวนประมาณ 1,000 nm ซึ่งอนุภาคโดยส่วนใหญ่เมื่อคิดเป็นจำนวนอนุภาคจะมีขนาดเฉลี่ยประมาณ 330 nm แต่ถ้าเทียบกับหน้าหนักโดยส่วนใหญ่จะมีขนาดเฉลี่ยประมาณ 1,000 nm ดังรูปที่ 4.8

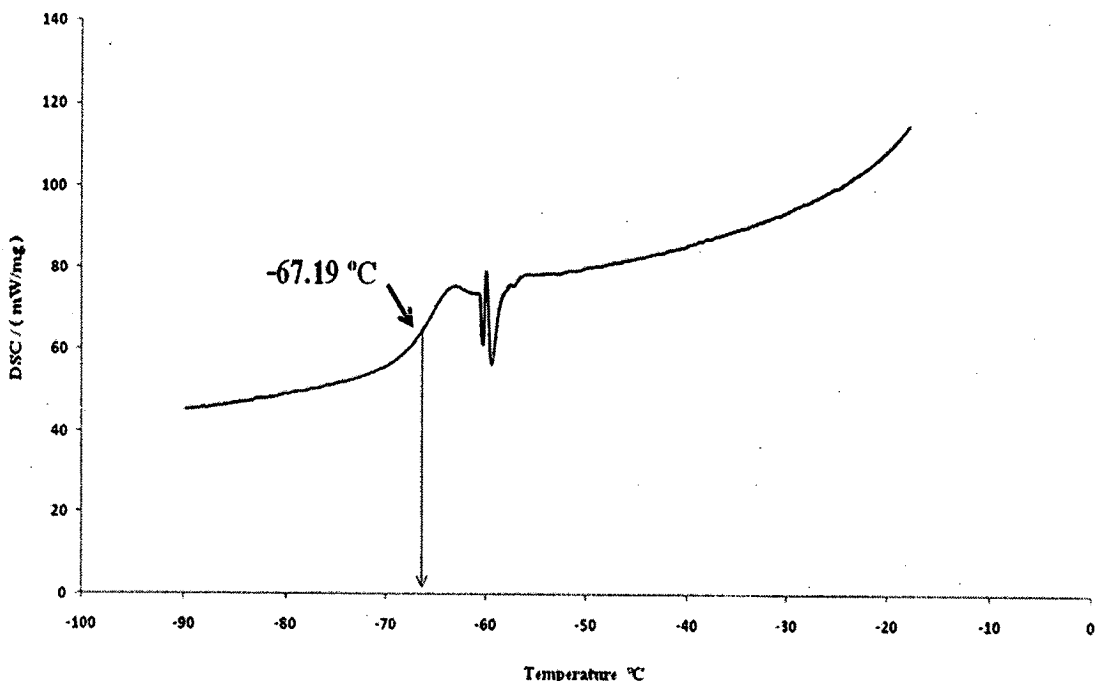
จากผลการทดลองนี้ แสดงว่าสามารถใช้ยางธรรมชาติเป็นแกน (Core) ในการเตรียมพอลิเมอร์กอนโพลิทิกบอนุภาคนาโนพอลิเมอร์ที่เตรียมขึ้นได้ โดยท่อนุภาคนาโนพอลิเมอร์จะเป็นเปลือก (Shell) เนื่องจาก หลักการผสมพอลิเมอร์โดยใช้แรงดึงดูดทางไฟฟ้าสถิต โดยเทคนิค Heterocoagulation อนุภาคที่มีขนาดใหญ่กว่าจะเป็นแกน ส่วนอนุภาคที่มีขนาดเล็กกว่าจะเป็นเปลือก



รูปที่ 4.8 DLS histogram ของยางธรรมชาติ

4.2.2 การตรวจสอบสมบัติทางความร้อนของยางธรรมชาติ โดยเทคนิค DSC

จากการทดสอบสมบัติทางความร้อนของ NR ด้วยเทคนิค DSC พบว่ามีค่า T_g อยู่ที่ -67.19°C ดังรูปที่ 4.9 แสดงว่าที่อุณหภูมิห้อง ยางธรรมชาติมีสถานะเป็น Rubbery state จะมีความนุ่มนิยมและยืดหยุ่น



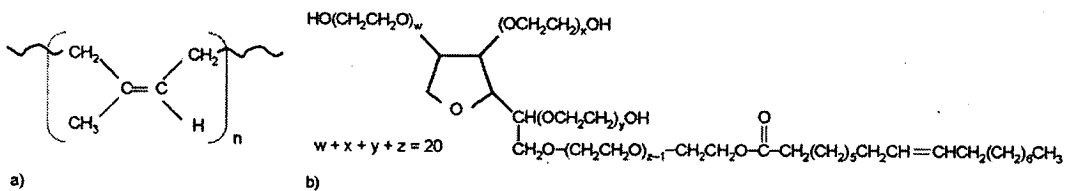
รูปที่ 4.9 DSC Thermogram ของอนุภาคยางธรรมชาติ

4.2.3 การศึกษาผลของพีอีชต่อสภาพประจุของอนุภาคของยางธรรมชาติ

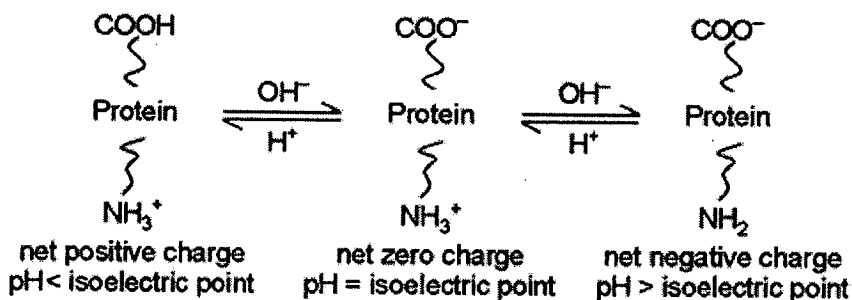
การทดลองนี้ เป็นการศึกษาผลของค่าพีอีชที่มีต่อสภาพความเป็นประจุของอนุภาคยางธรรมชาติ (โครงสร้างดังรูปที่ 4.10a) เพื่อหาสภาวะที่เหมาะสมที่ทำให้อนุภาคของยางธรรมชาติมีประจุเป็นบวก กระจายอยู่ที่ผิวนุภาค โดยทั่วไปยางธรรมชาติตามคัยสมบัติของโปรตีนที่เคลือบอยู่ที่ผิวของยางธรรมชาติ ที่สามารถแสดงประจุบวก (มาจากหมู่อะมิโน) และลบ (หมู่คาร์บอเนต) ได้ในช่วงพีอีชที่แตกต่างกัน ที่พีอีชที่เหมาะสมที่ทำให้ประจุบวกและลบเท่ากันทำให้ประจุสุทธิเป็นศูนย์เรียกว่า “Isoelectric point” หาก พีอีชของระบบสูงกว่า “Isoelectric point” หมู่คาร์บอเนตจะสูญเสียโปรตرون (Deprotonation) ได้ มากกว่าการได้รับโปรตرون (Protonation) ของหมู่อะมิโน ทำให้ประจุรวมสุทธิเป็นลบ แต่หากพีอีชของ ระบบต่ำกว่า Isoelectric point การรับโปรตرونของหมู่อะมิโนจะมากกว่าการสูญเสียโปรตرونของหมู่ คาร์บอเนตทำให้ประจุสุทธิเป็นบวก กลไกการเกิดประจุของโปรตีนที่อยู่บนผิวของยางธรรมชาติแสดง ดังรูปที่ 4.11

ยางธรรมชาติที่นำมาผสมมีสถานะเป็นคลอสอลต์ สีขาวซุ่น มีค่าพีอีชประมาณ 11 เนื่องจากถูก เก็บรักษาสภาพไว้ในสารละลายแอมโมเนียมีนีเตรียมขึ้น ซึ่งถ้าพีอีชของยางธรรมชาติอยู่ในสภาพกรด อนุภาค ของยางธรรมชาติจะเกิดการรวมตัวกันเป็นก้อนยางสีขาว จึงต้องมีการแก้ไขปัญหาที่เกิดจากการรวมตัว โดยการเติมสารลดแรงตึงผิว (Tween 80; โครงสร้างดังรูปที่ 4.10b) ซึ่งเป็นสารลดแรงตึงผิวนิดไม่มี ประจุ เพื่อช่วยป้องกันการรวมตัวกันของอนุภาคยางธรรมชาติเมื่อพีอีชต่ำลง ก้อนที่จะศึกษาผลของพีอีช ต่อสภาพประจุของยางธรรมชาติ เพื่อหาพีอีชที่เหมาะสมที่สุดในการทำให้อนุภาคของยางธรรมชาติมี

ประจุบวกกระจายที่ผิวนูภาค จากนั้น ทำการปรับพีอ่อนของยาหดรรมาติที่ผสมสารลดแรงตึงผิวแล้ว ให้มีพีอ่อนเริ่มต้นตั้งแต่ 1-11 ด้วยสารละลายกรดไฮโดรคลอริกความเข้มข้น 0.3 M และสารละลายโซเดียมไฮดรอกไซด์ความเข้มข้น 0.3 M แล้ววัดค่าความเป็นประจุที่ผิวของอนูภาคด้วยเครื่อง Zeta meter โดยอาศัยหลักการอิเล็กโโทร โฟเรซิส ผลการศึกษาแสดงดังรูปที่ 4.12

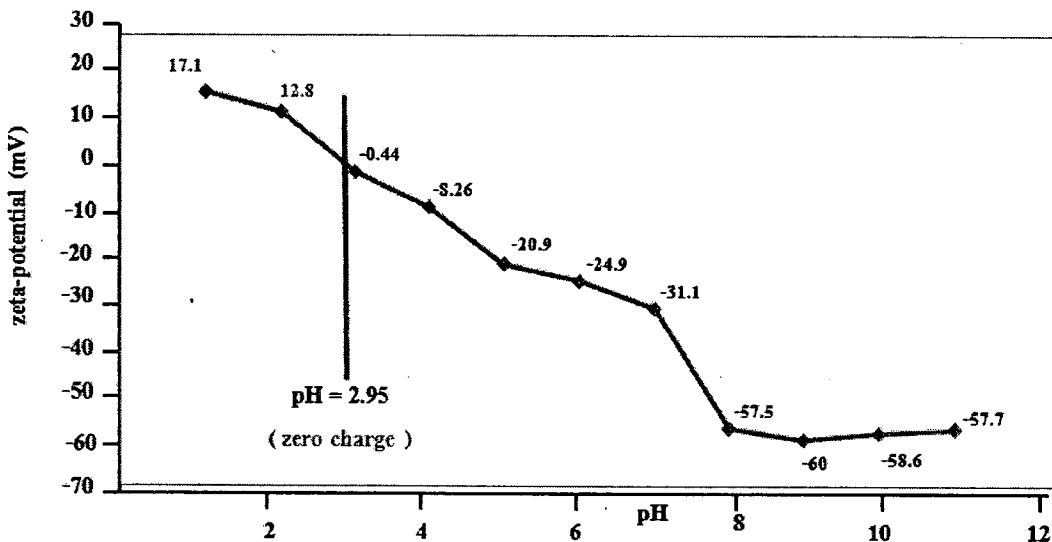


รูปที่ 4.10 โครงสร้างของยาหดรรมาติ (a) และ Tween 80 (b)

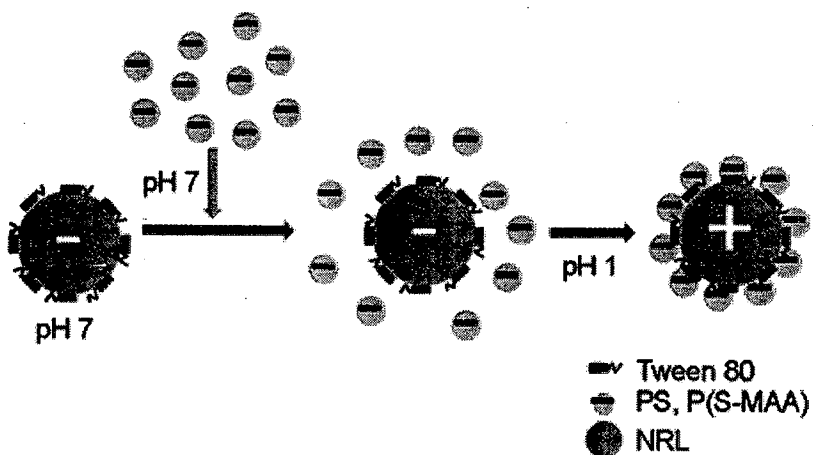


รูปที่ 4.11 กลไกการเกิดประจุของโปรตีนที่อยู่บนผิวของยาหดรรมาติ

จากผลการทดลองพบว่า อนูภาคของยาหดรรมาติที่ผสมสารลดแรงตึงผิวจะแสดงประจุบวกและประจุลบได้ที่พีอ่อนต่าง ๆ กัน อันเนื่องมาจากสมบัติของโปรตีนที่มีอยู่ในยาหดรรมาติ จากเส้นกราฟจะเห็นว่า ที่พีอ่อน 2.95 เป็น Isoelectric point เนื่องจากอนูภาคยาหดรรมาติมีประจุเป็น 0 ที่ช่วงพีอ่อนต่ำกว่า 2.95 เป็นช่วงที่อนูภาคของยาหดรรมาติจะแสดงประจุบวกที่ผิวของอนูภาค ทั้งนี้พีอ่อนที่มีความหมายสนที่สุดที่ทำให้อนูภาคของยาหดรรมาติแสดงประจุบวกที่ผิวและให้ค่า Zeta potential เป็นจำนวนมากที่สุด คือที่พีอ่อนเท่ากับ 1 ซึ่งให้ค่า Zeta potential เท่ากับ + 17.1 mv ดังนั้น จึงเลือกค่าพีอ่อนเท่ากับ 1 ในการผสมพอลิเมอร์ทั้งสองชนิดกับยาหดรรมาติ ในกระบวนการผสมโดยอาศัยแรงดึงดูดทางไฟฟ้าสถิติ



รูปที่ 4.12 ค่า Zeta-potential ของอนุภาคยางธรรมชาติที่ผสมสารลดแรงตึงผิวที่พิเศษต่าง ๆ



รูปที่ 4.13 กลไกการผสมยางธรรมชาติกับอนุภาคกระดับนาโนเมตรของ PS และ P(S-MAA)

4.3 การผสมอนุภาคพอลิเมอร์ PS และ P(S-MAA) กับยางธรรมชาติ

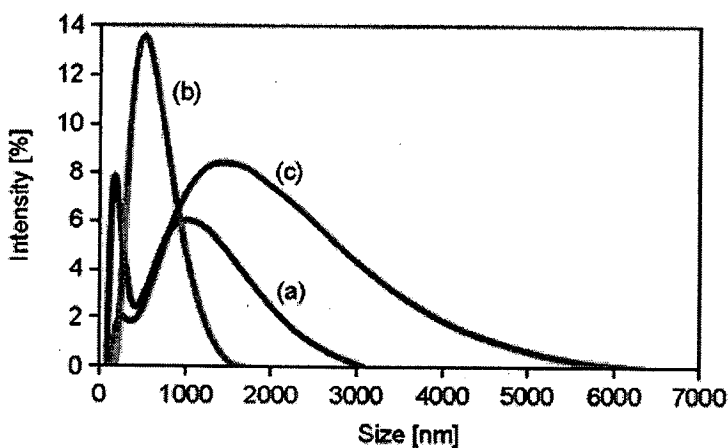
ในขั้นตอนนี้ เป็นการศึกษาการผสมอนุภาคพอลิเมอร์กับยางธรรมชาติในสถานะอิมัลชัน ที่ค่า pH เท่ากับ 1 โดยอาศัยแรงดึงดูดทางไฟฟ้าสถิต เมื่อจากอนุภาคยางธรรมชาติ เกิดการรวมตัวกันเป็นก้อนใหญ่เมื่อปรับ pH ให้ต่ำลง จึงต้องมีการเติมสารลดแรงตึงผิว Tween80 ลงในยางธรรมชาติ ก่อนเพื่อป้องกันการรวมตัวกันของอนุภาคยางธรรมชาติที่พิเศษต่างๆ ที่ได้กล่าวมาแล้วในขั้นตอนที่ผ่านมา ดังนั้น

จึงได้ทำการทดสอบพอลิเมอร์ทั้งสองที่พีเอช 7 ที่ทำให้พอลิเมอร์ทั้งสองมีประจุเป็นลบเหมือนกันไม่เกิดการรวมตัวกันทันที จากนั้นค่อยๆลดพีเอชของระบบไปในสภาวะกรดจนถึงพีเอช 1 ประจุที่ผิวของยาวยรรนชาติจะค่อยๆเปลี่ยนเป็นบวกทำให้ PS หรือ P(S-MAA) ที่มีประจุลบที่ผิวสามารถจับกับผิวของยาวยรรนชาติได้ ซึ่งพอลิเมอร์ผสมที่ได้คือ NR-Tween 80/PS และ NR-Tween 80/ P(S-MAA) ซึ่งข้างตนี้ลักษณะเป็นกลุ่มของสีขาวๆ กลไกการทดสอบพอลิเมอร์แสดงดังรูปที่ 4.13

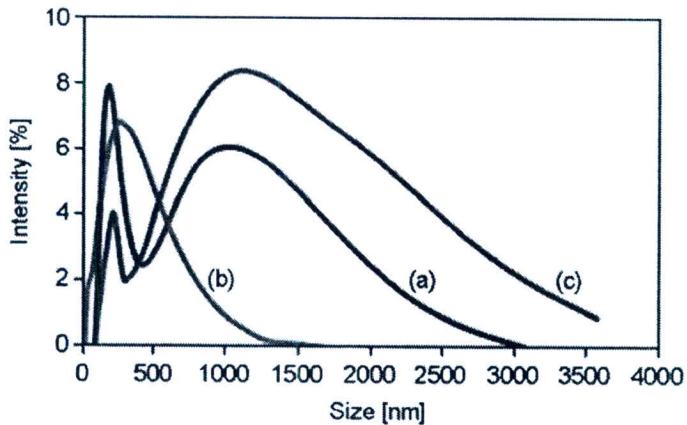
4.3.1 การตรวจสอบขนาดอนุภาคของพอลิเมอร์ผสม

เมื่อทำการทดสอบอนุภาคพอลิเมอร์ (PS และ P(S-MAA)) กับยาวยรรนชาติแล้ว ได้ทำการวัดขนาดอนุภาคของพอลิเมอร์ผสมโดยใช้เทคนิค DLS เพื่อเป็นการยืนยันการจับตัวกันของอนุภาคพอลิเมอร์กับยาวยรรนชาติ ซึ่งได้ผลดังรูปที่ 4.14 และ 4.15 สำหรับ NR-Tween80/PS และ NR-Tween80/P(S-MAA) ตามลำดับ

จากการวัดขนาดอนุภาคของพอลิเมอร์ผสมด้วยเทคนิค DLS พบว่า อนุภาคของพอลิเมอร์ผสมของ NR-Tween80/PS (รูปที่ 4.14) และ NR-Tween80/P(S-MAA) (รูปที่ 4.15) มีขนาดอนุภาคประมาณ 1,500 nm ซึ่งมีขนาดที่ใหญ่กว่าอนุภาคเริ่มต้นของพอลิเมอร์แต่ละชนิด ซึ่งขนาดอนุภาคที่ใหญ่ขึ้นนี้แสดงว่ามีการเกาะของ P(S-MAA) บนผิวของ NR-Tween80 เกิดขึ้น



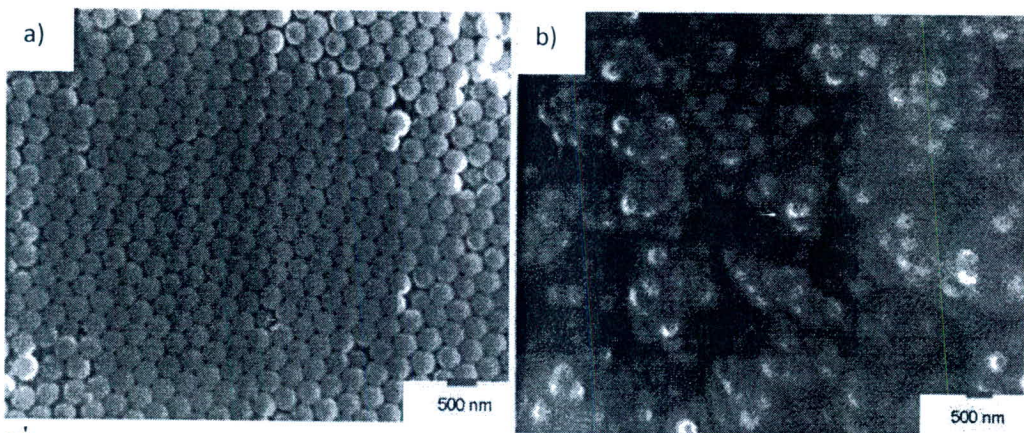
รูปที่ 4.14 DLS histogram ของการกระจายตัวของอนุภาคของยาวยรรนชาติ (a), อนุภาค PS ที่เตรียมโดยการสังเคราะห์พอลิเมอร์แบบอิมลัชันที่ไม่ใช้สารลดแรงตึงผิว (b) และอนุภาคผสมของ NR/PS (c) ที่เตรียมโดยเทคนิค heterocoagulation



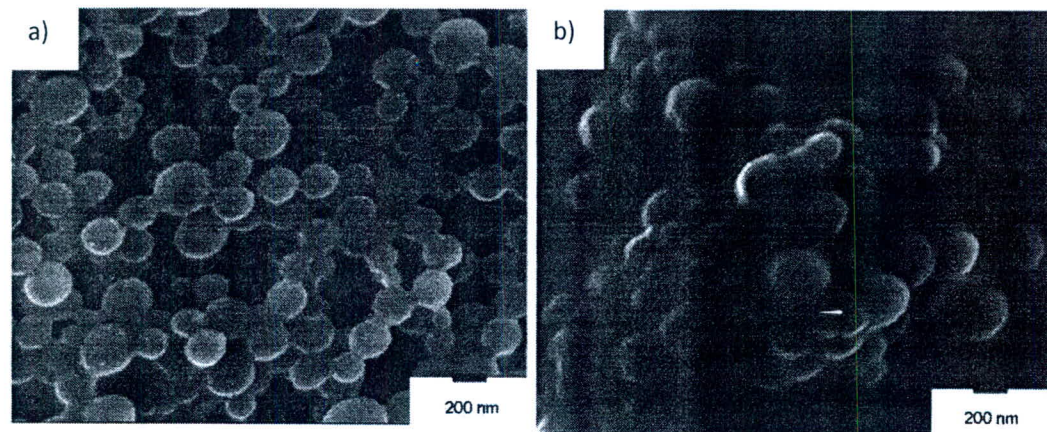
รูปที่ 4.15 DLS histogram ของการกระจายตัวของอนุภาคของยางธรรมชาติ (a), อนุภาค P(S-MAA) ที่เตรียมโดยการสังเคราะห์พอลิเมอร์แบบอิมลัชันที่ไม่ใช้สารลดแรงตึงผิว (b) และอนุภาคผสมของ NR/P(S-MAA) (c) ที่เตรียมโดยเทคนิค heterocoagulation

4.3.2 การตรวจสอบลักษณะอนุภาคของพอลิเมอร์ผสมที่เตรียมได้โดยใช้เทคนิคกล้องจุลทรรศน์อิเล็กตรอนแบบส่องกราด (SEM)

จากรูปที่ 4.16 พบว่าลักษณะอนุภาค PS (a) มีลักษณะเป็นทรงกลม มีขนาดอนุภาคประมาณ 500 nm ซึ่งสอดคล้องกับผลของรูป TEM (รูปที่ 4.5) ส่วนภาพ b) เป็นอนุภาค PS ที่ผสมกับ NR-Tween 80 (NR-Tween 80/PS) บริเวณที่เป็นพื้นน้ำ คือ NR เม็ดกลม ๆ ที่เห็นเป็นอนุภาค PS ซึ่งยืนยันได้ว่ายานาคที่เท่ากันกับอนุภาคในภาพ a) โดยที่ PS มีการกระจายตัวอยู่ทั่วบริเวณที่เป็น NR โดยไม่ได้จับตัวกันเป็นก้อน ในทำนองเดียวกันการผสมอนุภาค P(S-MAA) กับ NR ดังรูปที่ 4.17 อนุภาคของ P(S-MAA) จะมีการกระจายตัวเกาะกันอนุภาคยางธรรมชาติเป็นกลุ่ม (Cluster) เช่นเดียวกับอนุภาค PS ที่ผสมกับ NR ซึ่งสอดคล้องกับข้อมูลของ DLS ที่มีขนาดเพิ่มขึ้น

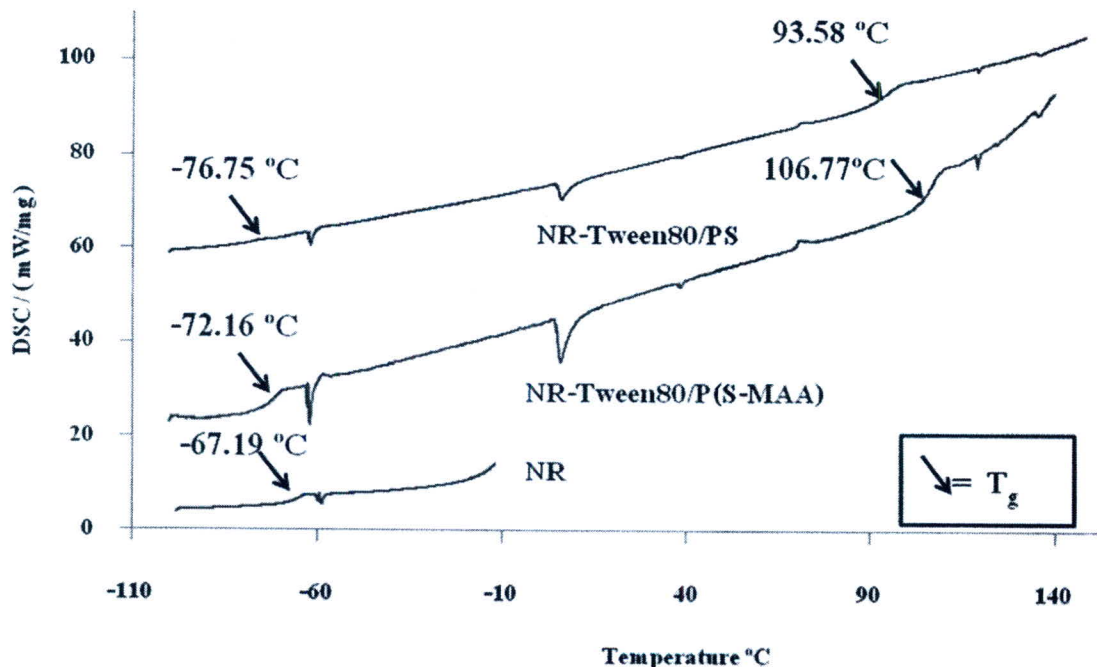


รูปที่ 4.16 SEM micrograph ของ a) PS และ b) NR-Tween80/PS ที่ผสมกันโดยอาศัยแรงดึงดูดทางไฟฟ้าสถิต อัตราส่วนในการผสม = N_{max}



รูปที่ 4.17 SEM micrograph ของ a) P(S-MAA) และ b) NR-Tween80/P(S-MAA) ที่ทดสอบกันโดยอาศัยแรงดึงดูดทางไฟฟ้าสถิต อัตราส่วนในการผสม = N_{max}

4.3.3 การตรวจสอบสมบัติทางความร้อนของพอลิเมอร์ผสมที่เตรียมได้โดยเทคนิค DSC



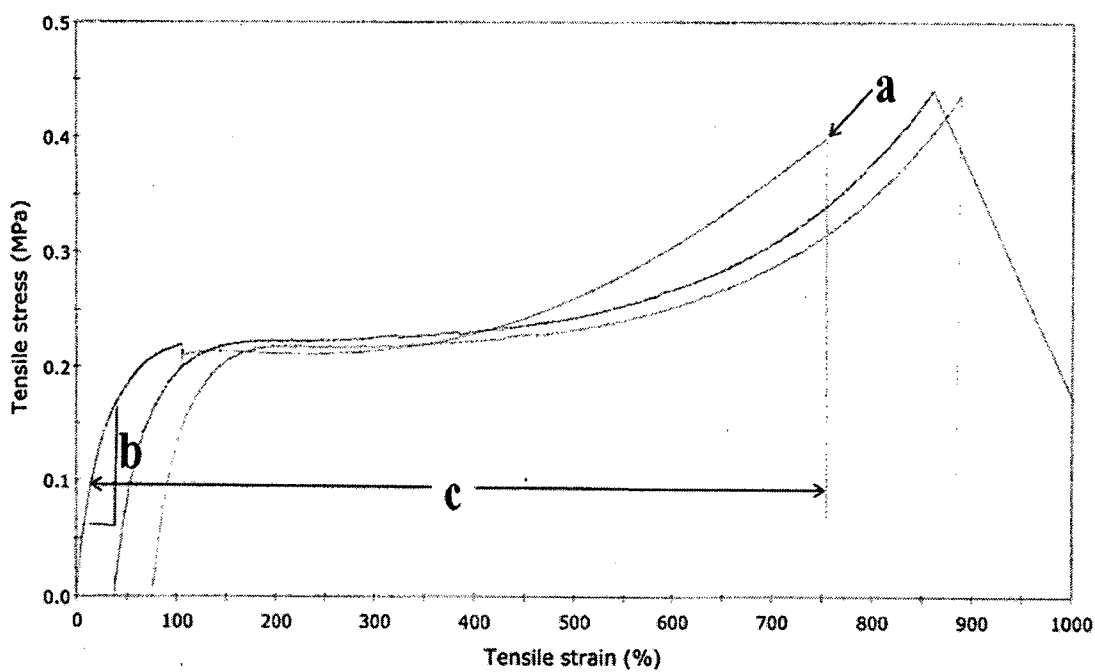
รูปที่ 4.18 DSC thermogram ของ NR, NR-Tween80/PS และ NR-Tween80/P(S-MAA) ที่ทดสอบกันโดยอาศัยแรงดึงดูดทางไฟฟ้าสถิต อัตราส่วนในการผสม = N_{max}

เมื่อทำการวัดค่า T_g ของพอลิเมอร์ผสมเปรียบเทียบกับพอลิเมอร์และยางธรรมชาติก่อนผสมพบว่า พอลิเมอร์ผสมของยางธรรมชาติที่ได้มีค่า T_g 2 ค่า เมื่อเทียบกับ NR ที่มี T_g เพียงค่าเดียว โดยที่ NR-Tween80/PS มีค่า $T_g = -76.75$ และ 93.58°C ส่วน NR-Tween80/P(S-MAA) มีค่า $T_g = -72.16$ และ 106.77

$^{\circ}\text{C}$ ในขณะที่ NR มีค่า $T_g = -67.19\text{ }^{\circ}\text{C}$ ซึ่งแสดงว่าพอลิเมอร์สมของยางธรรมชาติมีหัวส่วนของอนุภาคพอลิเมอร์และยางธรรมชาติผสมกันอยู่จริง

4.4 การเตรียมแผ่นพิล์มยางธรรมชาติผสม

เมื่อสามารถเตรียมพอลิเมอร์สมของยางธรรมชาติกับอนุภาคนาโนพอลิเมอร์ได้แล้ว ให้ทำการเตรียมเป็นแผ่นพิล์มเพื่อนำไปทดสอบสมบัติเชิงกลต่อไป โดยทำการวัดค่า Tensile strength เปรียบเทียบความแข็งแรงของแผ่นพิล์มพอลิเมอร์สมของยางธรรมชาติกับแผ่นพิล์มของยางธรรมชาติ เพื่อศึกษาผลของการผสมกับอนุภาคนาโนพอลิเมอร์ที่มีต่อสมบัติเชิงกลของแผ่นพิล์มยางธรรมชาติ ซึ่งได้ผลการทดสอบดังรูปที่ 4.19 และตารางที่ 4.4



รูปที่ 4.19 สมบัติเชิงกลของยางธรรมชาติ (จุด a = ความต้านทานแรงดึงสูงสุด จุด b = นมดูดลักษณะ และ จุด C = การยืดตัว ณ จุดขาด)

ตารางที่ 4.4 สมบัติเชิงกลต่าง ๆ ของ NR, NR-Tween80/PS และ NR-Tween80/P(S-MAA)

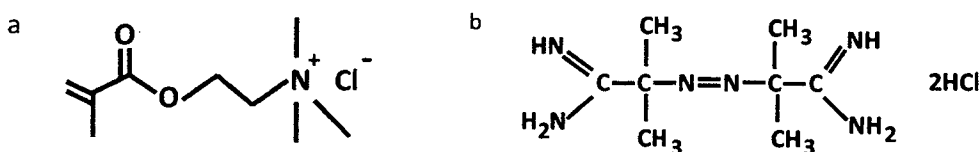
ตัวอย่าง	ความต้านทาน	มอคูลัส	การยึดตัว ณ
	แรงดึงสูงสุด (เมกะพาสคัล) [a]	[b]	จุดขาด (%)
NR	0.43	0.70	795.76
NR-Tween80/PS	3.69	594.20	2.01
NR-Tween80/P(S-MAA)	7.05	2,553.91	0.57

จากตารางที่ 4.4 พบว่าแผ่นฟิล์มของพอลิเมอร์พสม (NR/PS and NR/P(S-MAA)) มีสมบัติเชิงกลดีขึ้นอย่างมากเมื่อเทียบกับยางธรรมชาติ โดยในการผิวของยางธรรมชาติจะมีความยึดหยุ่นสูงดังนี้ค่าการยึดตัว ณ จุดขาดที่ 796% ในขณะที่มีค่าความต้านทานแรงดึงสูงสุดและมอคูลัสต่ำ (0.43 and 0.70 MPa, ตามลำดับ) ในทางตรงข้ามค่าความต้านทานแรงดึงสูงสุดและมอคูลัสเพิ่มขึ้นในการผิวของแผ่นฟิล์ม พสม (NR/PS and NR/P(S-MAA)) เมื่อเทียบกับแผ่นฟิล์ม NR ซึ่งเป็นผลมาจากการเสริมแรงด้วยอนุภาค พอลิเมอร์ระดับนาโนเมตรของ PS และ P(S-MAA) อย่างไรก็ตามความยึดหยุ่นของพอลิเมอร์ (ฟิล์ม) พสมทั้งสองมีค่าต่ำกว่าเนื่องจากสายโซ่ของยางธรรมชาติเกิดการเคลื่อนตัวผิดพลาดหรือลื่น (Slipping) ได้ง่าย รอบๆผิวของอนุภาคพอลิเมอร์ระดับนาโนเมตร อย่างไรก็ตามในการปรับปรุงสมบัติของยางธรรมชาติ โดยใช้การผสมกับอนุภาคขนาดพอลิเมอร์สามารถปรับสัดส่วนที่เหมาะสมได้เพื่อให้ได้สมบัติเชิงกลตามต้องการ

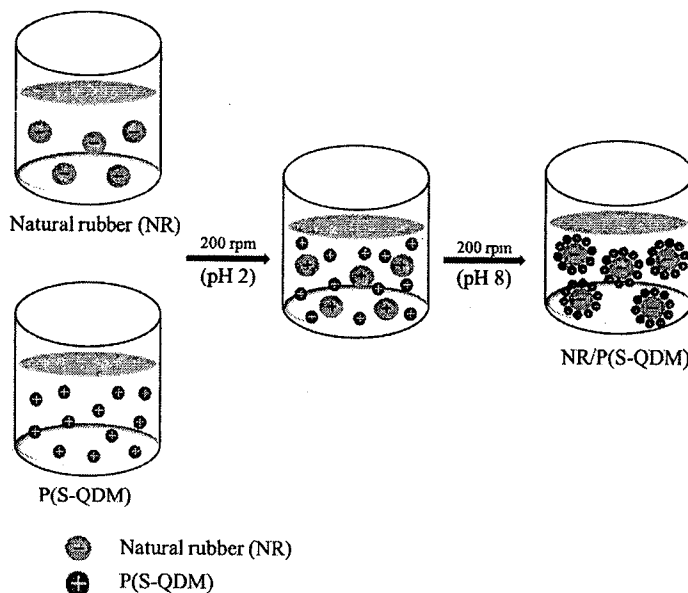
4.5 การทดสอบอนุภาคพอลิเมอร์ P(S-QDM) กับยางธรรมชาติ

ถึงแม้ว่าจะประสบความสำเร็จในการเตรียมพอลิเมอร์พสมของ NR/PS และ NR/P(S-MAA) และสมบัติเชิงกลของแผ่นฟิล์มที่เพิ่มขึ้นอย่างมาก อย่างไรก็ตาม พบว่าในระหว่างการทดสอบ (ที่สภาวะกรด) หรือหลังทดสอบ หากทั้งตัวอย่างไวนาน อนุภาคของพอลิเมอร์พสมจะรวมตัวกันได้ง่าย ทั้งนี้เนื่องมาจากประจุประมาณาด +17 mV นั้นไม่เพียงพอต่อการป้องกันการรวมตัวของยางธรรมชาติ (ปกติการที่อนุภาคจะมีความเสถียรทางคอลloid อนุภาคจะต้องมีประจุที่ค่อนข้างมากกว่า + 30 mV หรือ น้อยกว่า - 30 mV) ถึงแม้จะมี Tween 80 ช่วยอีกทางหนึ่งก็ตาม และอาจจะทำให้มีแรงดึงดูดระหว่างประจุของทั้งสองพอลิเมอร์ต่ำ

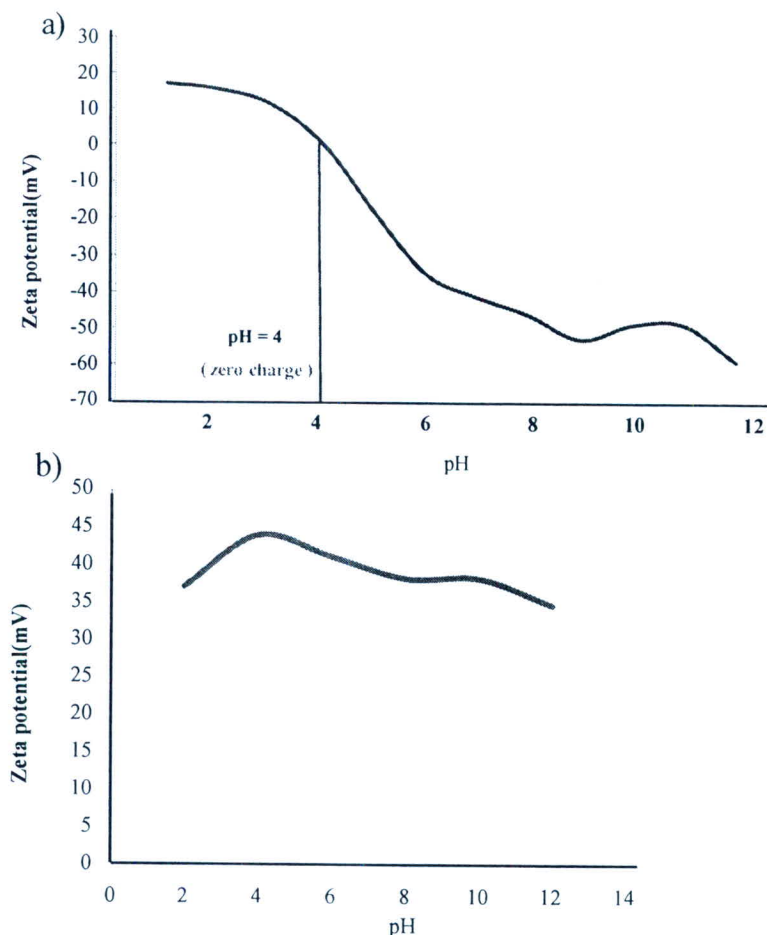
ไปด้วย ดังนั้น จึงมีความสนใจที่จะเปลี่ยนสภาพการผสมจาก พีเอช 1 ไปเป็นพีเอชที่เป็นเบส (พีเอช 8) เพื่อที่จะทำให้ผิวของยางธรรมชาติมีประจุเป็นลบน้อยกว่า -30 mV ดังที่ได้ศึกษาประจุบนผิวของยางธรรมชาติที่พีเอชต่างๆ ดังรูปที่ 4.12 ในขณะเดียวกันจะต้องเปลี่ยนชนิดของอนุภาคโพลิเมอร์ระดับนาโน เมตรจาก PS และ P(S-MAA) เป็น P(S-QDM) ซึ่งมีประจุบวกที่คิว ที่มาจากการตัวเริ่มปฏิกิริยาและ QDM มองомер (ดังรูปที่ 4.20) ซึ่งคาดว่าจะทำให้การผสมกับยางธรรมชาติมีประสิทธิภาพเพิ่มขึ้น โดยเริ่มนั่นจะทำการผสมโพลิเมอร์ทั้งสองที่พีเอชที่เหมะสม ที่ทำให้ผิวของโพลิเมอร์ทั้งสองมีประจุเป็นบวก แล้วค่อยๆปรับพีเอชเป็น 8 ซึ่งประจุที่ผิวของยางธรรมชาติจะเปลี่ยนเป็นลบทำให้โพลิเมอร์ทั้งสองผสมกันได้กลไกการผสมแสดงดังรูปที่ 4.21



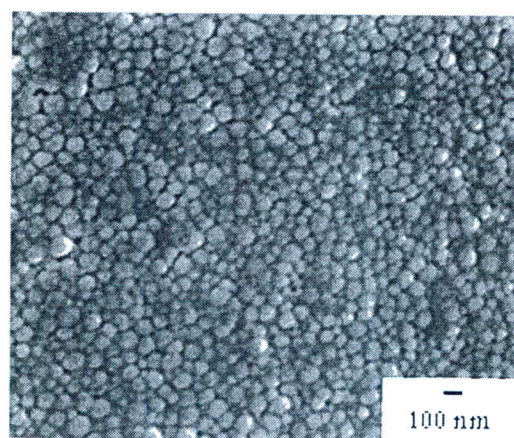
รูปที่ 4.20 โครงสร้างทางเคมีของ QDM (a) และ AIBA (b)



รูปที่ 4.21 กลไกการผสมยางธรรมชาติกับอนุภาคระดับนาโนเมตรของ P(S-QDM)



รูปที่ 4.22 การวัดประจุบนผิวของอนุภาคยางธรรมชาติ (a) และ P(S-QDM) (b) ที่พีเอชต่างๆ



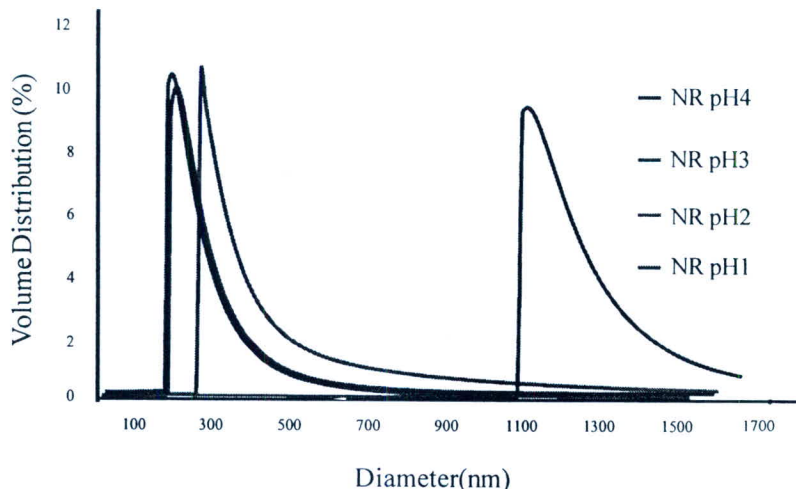
รูปที่ 4.23 SEM micrograph ของอนุภาค P(S-QDM) ที่เตรียมโดยกระบวนการสังเคราะห์แบบอิมัลชัน

โดยทั่วไปประจุบนของ P(S-QDM) จะมาจากการทึบตัวเริ่มปฏิกิริยา AIBA และ QDM มองอเมอร์ เดี่ยงจากการหลอมครั้งนี้ เราจะทดสอบกับยางธรรมชาติที่ประมาณ พีเอช 8 ซึ่งในกรณีของหนูตะเภาในที่มา จาก AIBA จะไม่สามารถกรับประจุได้ ดังนั้น ที่สภาวะนี้ประจุบนจะมาจาก QDM ซึ่งเป็นแบบที่แก่

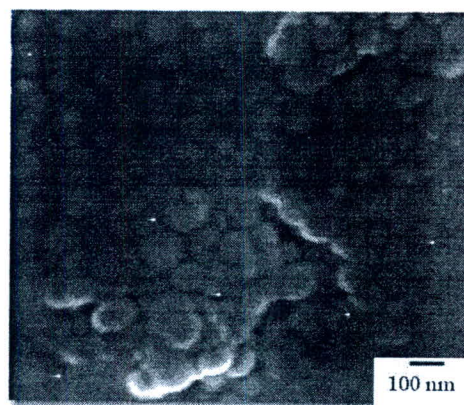
ซึ่งสอดคล้องกับการวัดประจุบนผิวนูภาคของ P(S-QDM) ที่พิอชต่างๆดังรูปที่ 4.22b ซึ่งทดลองช่วงพิอช ผิวนูของ P(S-QDM) มีค่าประจุบวกมากกว่า +30 mV โดยในช่วงพิอชที่เป็นกรดค่าความเป็นประจุบวกจะเพิ่มขึ้นเล็กน้อยเนื่องมาจากการรับประ Triton ของหมู่อะมิโนของ AIBA นอกจากนี้ ขนาดอนูภาค P(S-QDM) ที่เตรียมได้โดยกระบวนการสังเคราะห์แบบอิมลัชันจะมีขนาด 76 nm มีอนูภาคเป็นทรงกลม ผิวเรียบและมีการกระจายตัวของอนูภาคแบบดังรูปที่ 4.23 ในกรณีของยางธรรมชาติเนื่องจากเปลี่ยนตัวอย่างเป็นคนละรุ่น (Lot) กับที่ใช้ในการทดลองก่อนหน้านี้ เมื่อทำการวัดขนาดด้วยเทคนิค DLS พบว่า อนูภาคยางธรรมชาติที่ได้มีขนาดเล็กกว่าเดิมมาก (142 nm) แต่มีประจุบนผิวใกล้เคียงกับรุ่นเดิมที่ใช้ในการทดลองก่อนหน้านี้ และเมื่อทำการวัดความมีประจุที่พิอชต่างๆ (ดังรูปที่ 4.22a) พบว่า isoelectric point จะอยู่ที่พิอชเท่ากับ 4

การทดสอบพอลิเมอร์ทั้งสองจะทำที่พีเอช 8 ที่ซึ่งทั้งสองพอลิเมอร์แสดงความเป็นประจุตรงกันข้ามที่มีค่าสูง ซึ่งจะทำให้เกิดแรงดึงดูดที่มีประสิทธิภาพ อย่างไรก็ตาม ในการทดสอบจำเป็นต้องเติมอนุภาค P(S-QDM) ลงไปในอิมลชันของอนุภาคยางธรรมชาติที่มีประจุเป็นบวก เพื่อหลีกเลี่ยงการเกาะกันทันทีระหว่างพอลิเมอร์ทั้งสอง ดังนั้น ในขั้นตอนนี้พีเอชจึงมีความสำคัญ เนื่องจากอาจจะทำให้ออนุภาคของยางธรรมชาติเกิดการรวมตัวกันเองระหว่างการทดสอบ P(S-QDM) หากพีเอชไม่เหมาะสมซึ่งจะส่งผลให้ประจุที่พิวของยางธรรมชาติมีความเป็นประจุบวกต่ำเกินไป (ถึงแม้มีการเติม Tween 80 ลงไปช่วยป้องกันการรวมตัวกันของอนุภาคยางธรรมชาติ แต่อาจไม่เพียงพอ เนื่องจากใช้ปริมาณที่ไม่มากนัก เพื่อหลีกเลี่ยงผลที่อาจจะไปลดแรงดึงดูดระหว่างประจุของพอลิเมอร์ทั้งสองที่พีเอช 8) จึงได้มีการหาสภาวะที่เหมาะสมของพีเอชในขั้นการทดสอบที่ทำให้พอลิเมอร์ทั้งสองมีประจุเป็นบวกเหมือนกัน โดยทำการศึกษาทั้งหมด 4 พีเอช คือ 1 2 3 และ 4 จากผลการทดลองดังรูปที่ 4.24 พบว่าขนาดของอนุภาคพอลิเมอร์ทดสอบของ NR/P(S-QDM) จะเพิ่มขึ้นตามพีเอช โดยในกรณีของพีเอช 3 และ 4 ขนาดของอนุภาคทดสอบจะมีขนาดใหญ่มาก (299 และ 2,766 nm สำหรับพีเอช 3 และ 4 ตามลำดับ) ซึ่งคุณเมื่อมีการเกิดการเกาะตัวกันของอนุภาคยางธรรมชาติในระหว่างการทดสอบ ในทางตรงกันข้ามในกรณีของพีเอช 1 และ 2 ขนาดของอนุภาคพอลิเมอร์ทดสอบมีความคงกลั่นกับขนาดของพอลิเมอร์ทั้งสองก่อนทดสอบรวมกัน (175 และ 229 nm สำหรับพีเอช 1 และ 2 ตามลำดับ) ดังนั้น ในงานวิจัยนี้จึงเลือกใช้พีเอช 2 เนื่องจากมีความเป็นกรดน้อยกว่าจากนั้นจึงค่อยๆปรับพีเอชไปที่ 8 จะได้ออนุภาคทดสอบของยางธรรมชาติกับ P(S-QDM) การเปรียบเทียบอนุภาคพอลิเมอร์ทดสอบกับอนุภาคของยางธรรมชาติและ P(S-QDM) แสดงดังรูปที่ 4.25 อนุภาคพอลิเมอร์ทดสอบที่ซึ่งมีอนุภาค P(S-QDM) เกาะที่พิวของยางธรรมชาติแสดงดังรูป 4.26

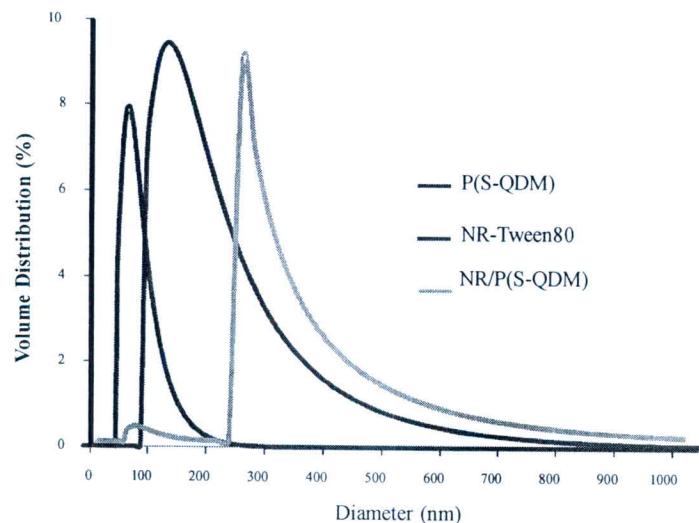
จากงานวิจัยนี้สามารถนำไปประยุกต์ใช้ในการปรับปรุงสมบัติของยางธรรมชาติได้ โดยการผสมกับก้อนภูมิอื่นๆที่มีประจุที่ผิด ซึ่งเป็นวิธีที่ง่ายและสะดวก ไม่ซับซ้อน



รูปที่ 4.24 การกระจายตัวของอนุภาคพอลิเมอร์ผสม NR/P(S-QDM) ที่สภาวะการผสมเริ่มต้นของพีเอชต่างๆ



รูปที่ 4.25 SEM micrograph ของอนุภาคพอลิเมอร์ผสม NR/P(S-QDM)



รูปที่ 4.26 การกระจายตัวของอนุภาคพอลิเมอร์ผสม NR/P(S-QDM) เทียบกับอนุภาคยางธรรมชาติและ P(S-QDM)